

Таблица 1. Варианты дебюта хронического панкреатита (n=315)	
По типу острого панкреатита	119 (37,8%)
алкогольный панкреатит (n=159)	74 (46,5%)
билиарнозависимый панкреатит (n=156)	45 (28,8%)
По типу билиарной боли или печеночной колики	104 (33,0%)
алкогольный панкреатит (n=159)	52 (32,7%)
билиарнозависимый панкреатит (n=156)	62 (39,8%)
По типу диспепсии, преимущественно кишечной	92 (29,2%)
алкогольный панкреатит (n=159)	33 (20,8%)
билиарнозависимый панкреатит (n=156)	49 (31,4%)

Таблица 2. Варианты течения болевого синдрома при хроническом панкреатите (n=315)	
С продолжительными периодами боли (>2 месяцев) в начальный период заболевания (1–5 лет)	164 (52,06%)
алкогольный панкреатит (n=159)	105 (66%)
билиарнозависимый панкреатит (n=156)	49 (31,4%)
С длительными ремиссиями (>6 месяцев) в начальный период заболевания (1–5 лет)	151 (47,9%)
алкогольный панкреатит (n=159)	54 (34%)
билиарнозависимый панкреатит (n=156)	107 (68,6%)

Таблица 3. Клиническая характеристика болевого синдрома

Сочетание болевого синдрома и клинических признаков внешнесекреторной недостаточности в начальный период заболевания (1–5 лет)	139 (44,1%)
алкогольный панкреатит (n=159)	74 (46,5%)
билиарнозависимый панкреатит (n=156)	65 (41,7%)
Сочетание болевого синдрома и признаков внешнесекреторной недостаточности при длительности заболевания 6–10 лет	248 (78,7%)
алкогольный панкреатит (n=159)	148 (93,1%)
билиарнозависимый панкреатит (n=156)	100 (64,1%)

Таблица 4. Основные механизмы развития внешнесекреторной недостаточности поджелудочной железы при хроническом панкреатите

Абсолютная панкреатическая недостаточность	1) уменьшение массы функционирующей экзокринной паренхимы в результате ее атрофии, фиброза
	2) нарушение оттока панкреатического секрета в ДПК из-за блока выводных протоков
Относительная панкреатическая недостаточность	1) инактивация панкреатических ферментов из-за ацидификации интрадуоденального содержимого
	2) нарушение смешивания ферментов с химусом вследствие нарушения гастроинтестинального транзита
	3) снижение концентрации ферментов из-за быстрого транзита кишечного содержимого
	4) разрушение ферментов, обусловленное избыточным бактериальным ростом в тонкой кишке
	5) нарушение эмульгации жира и образования мицелл

Таблица 5. Основные типы абдоминального болевого синдрома у больных ХП с длительностью заболевания более 5 лет (n=248)

Абдоминальный болевой синдром с гиперферментемией	98 (39,5%)
Абдоминальный болевой синдром без уклонения ферментов, обусловленный:	150 (60,5%)
1) вторичным энтеритом	103 (68,7%)
2) панкреатогенным эрозивным процессом	32 (21,3%)
3) дисфункцией сфинктера Одди	29 (19,3%)
4) гастро- и/или дуоденостазом, дискинезией кишечника	21 (14,0%)
5) инфекционными осложнениями ХП (холангиты, воспалительные инфильтраты)	18 (12,0%)

Таблица 6. Состав Креона

	Креон 10000	Креон 25000
Панкреатин	150 мг	300 мг
Липаза	10000 Ед. F.I.P.	25000 Ед. F.I.P.
Амилаза	8000 Ед. F.I.P.	18000 Ед. F.I.P.
Протеаза	600 Ед. F.I.P.	1000 Ед. F.I.P.

Таблица 7. Основные преимущества препарата Креон перед таблетированными ферментными препаратами

Действие	Минимикросферы Креона	Ферментные препараты в таблетках или драже
Эвакуация из желудка	Синхронно с химусом в пищеварительный период	В межпищеварительный период при отсутствии химуса в ДПК
Повышение концентрации ферментов в ДПК	В фазу интрадуоденального пищеварения	Обычно через 2,5–3 часа
Площадь контакта ферментов и химуса	1800 мм ² (Губергриц Н.Б.)	120 мм ² (Губергриц Н.Б.)
Высвобождение ферментов в кишечнике	90% липазы высвобождается в ДПК	По протяженности кишечника (часть экскретируется в интактном состоянии)
Влияние на панкреатическую секрецию	Подавление стимулированной секреции	Подавление собственной секреции
Воздействие на слизистую оболочку ЖКТ	Улучшают трофику, уменьшают дуоденогастральный рефлюкс	Могут вызывать эрозии и язвы
Состав оболочки покрытия панкреатина	Гидроксилпропилметилцеллюлоза	Кополимер этилакрилата и метакриловой кислоты (фиброзная колонопатия)

Таблица 8. Группы обследованных больных (n=156)

Состояние экзокринной функции поджелудочной железы	Группа А n=86 (%)		Группа Б n=70 (%)	
	1 А	2 А	1 Б	2 Б
Сохранена	25 (29,1%)		31 (44,3%)	
Умеренная недостаточность	32 (37,2%)		24 (34,3%)	
Выраженная недостаточность	29 (33,7%)		15 (21,4%)	

Таблица 9. Динамика болевого абдоминального синдрома в подгруппах А

Группы пациентов	Время лечения, (мес.)			
	6	12	24	36
1 А (n=25)	0	1 (1,2%)	1 (1,2%)	2 (2,3%)
2 А (n=32)	0	2 (2,3%)	3 (3,5%)	4 (4,7%)
3 А (n=29)	2 (2,3%)	2 (2,3%)	3 (3,5%)	5 (5,8%)
n=86	2 (2,3%)	5 (5,8%)	7 (8,2%)	11 (12,8%)

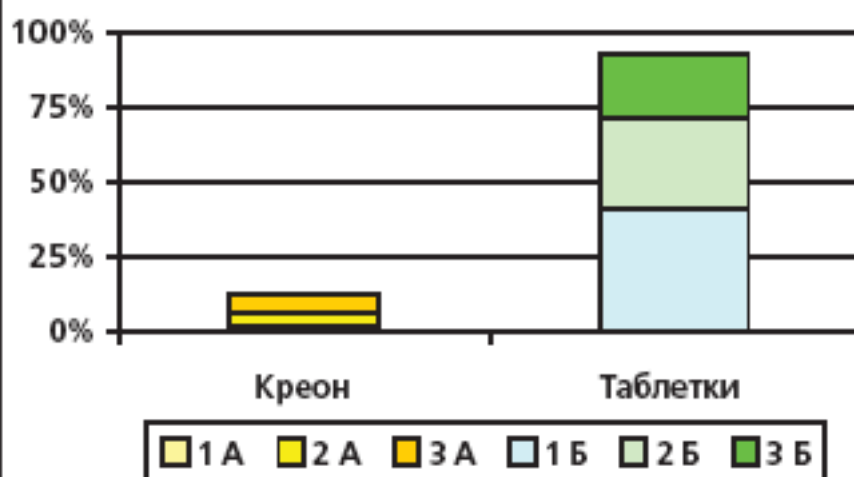


Рис. 1. Частота рецидивирования болевого абдоминального синдрома за 3 года

Таблица 10. Динамика болевого абдоминального синдрома в подгруппах Б

Группы пациентов	Количество пациентов с рецидивами болевого синдрома			
	6 месяцев	12 месяцев	24 месяца	36 месяцев
1 Б (n=31)	9 (12,9%)	11 (15,7%)	27 (38,6%)	29 (41,4%)
2 Б (n=24)	5 (7,1%)	12 (17,1%)	19 (27,1%)	21 (30,0%)
3 Б (n=15)	8 (11,4%)	9 (12,9%)	13 (18,6%)	15 (21,4%)
n=70	22 (31,4%)	32 (45,7%)	59 (84,3%)	65 (92,8%)

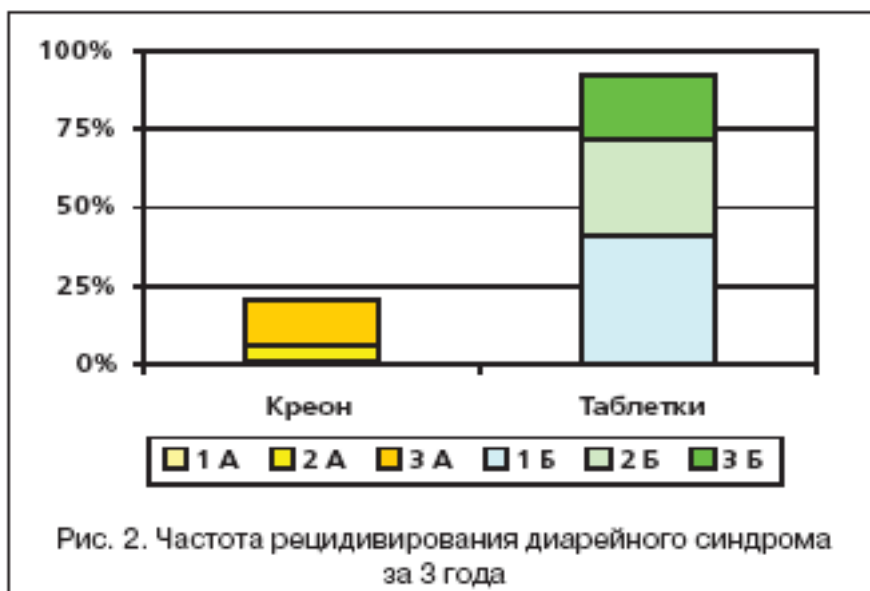


Таблица 11. Динамика диарейного синдрома в группах больных ХП в течение амбулаторного наблюдения

Группы	Число пациентов с рецидивами диарей				Число пациентов с рецидивами диарей				
	6 мес.	12 мес.	24 мес.	36 мес.	Группы	6 мес.	12 мес.	24 мес.	36 мес.
1А (25)	0	0	1 (1,2%)	1 (1,2%)	1Б (31)	1 (1,4%)	4 (5,7%)	5 (7,1%)	9 (12,9%)
2А (32)	0	0	3 (3,5%)	4 (4,6%)	2Б (24)	3 (4,3%)	9 (12,9%)	15 (21,4%)	19 (27,1%)
3А (29)	1 (1,2%)	5 (5,8%)	7 (8,1%)	9 (10,5%)	3Б (15)	5 (7,1%)	11 (15,7%)	13 (18,6%)	15 (21,4%)
n=86 (100%)	1 (1,2%)	5 (5,8%)	11 (12,8%)	14 (16,3%)	n=70 (100%)	9 (12,8%)	24 (34,3%)	33 (47,1%)	43 (61,4%)

Таблица 12. Динамика изменений экзокринной функции поджелудочной железы в течение 36 месяцев наблюдения

Эластаза-1 в кале	Через 6 мес. лечения		Через 24 мес. лечения		Через 36 мес. лечения	
	Гр. А	Гр. Б	Гр. А	Гр. Б	Гр. А	Гр. Б
401,9±10,51	27 (31,4%)	31 (44,3%)	30 (34,9%)	29 (41,4%)	30 (34,9%)	23 (32,9%)
160,2±9,83	34 (39,5%)	24 (34,3%)	31(36,0%)	25 (35,7%)	31 (36,0%)	25 (35,7%)
66,5±4,31	25 (29,1%)	15 (21,4%)	25 (29,1%)	16 (22,9%)	25 (29,1%)	22 (31,4%)

Таблица 13. Оценка степени белково–энергетической недостаточности по антропометрическим показателям на начало проведения наблюдения

ИМТ	Количество пациентов					
	1А (n=25)	2А (n=32)	3А (n=29)	1Б (n=31)	2Б (n=24)	3Б (n=15)
20–25	19 (76,0%)	14 (43,8%)	2 (2,3%)	27 (87,1%)	6 (25%)	3 (20%)
20–18,5	6 (24,0%)	17 (53,13%)	20 (23,3%)	4 (12,9%)	17 (70,8%)	6 (40%)
18,4–17,1	0	1 (1,2%)	5 (5,8%)	0	1 (4,2%)	4 (26,7%)
<17,1	0	0	2 (2,3%)	0	0	2 (13,3%)

Таблица 14. Оценка динамики антропометрических показателей через 36 месяцев наблюдения

ИМТ	Количество пациентов					
	1А (n=25)	2А (n=32)	3А (n=29)	1Б (n=31)	2Б (n=24)	3Б (n=15)
20–25	23 (92%)	29 (90,6%)	9 (31,0%)	23 (74,2%)	6 (25%)	2 (13,4%)
20–18,5	2 (8%)	3 (9,4%)	19 (65,6%)	7 (22,6%)	14 (58,3%)	5 (33,3%)
18,4–17,1	0	0	1 (3,4%)	1 (3,2%)	4 (16,7%)	5 (33,3%)
<17,1	0	0	0	0	0	3 (20,0%)

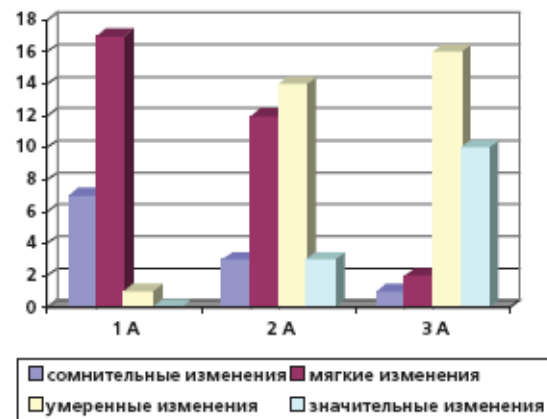
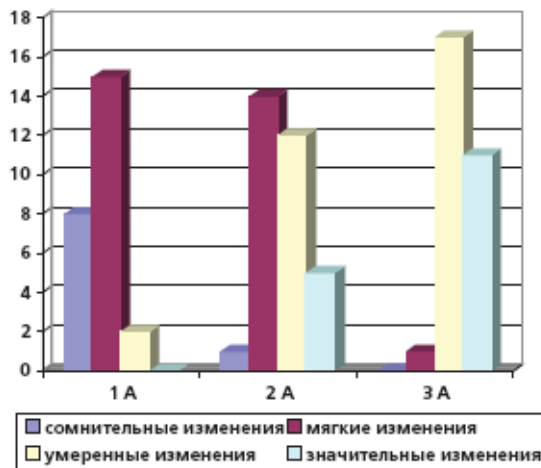


Рис. 3. Динамика структурных изменений в поджелудочной железе по данным УЗИ или КТ у обследованной группы пациентов А через 6 и 36 месяцев наблюдения

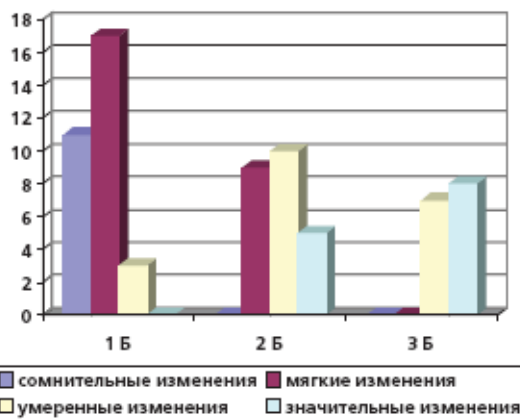


Рис. 4. Динамика структурных изменений в поджелудочной железе по данным УЗИ или КТ у обследованной группы пациентов Б через 6 и 36 месяцев наблюдения

Таблица 15. Структурные изменения в поджелудочной железе по данным УЗИ или КТ у обследованной группы пациентов на I этапе наблюдения

	Группа А (n=86)			Группа Б (n=70)		
	1А (n=25)	2А (n=32)	3А (n=29)	1Б (n=31)	2Б (n=24)	3Б (n=15)
Сомнительные изменения	8 (32%)	1 (3,1%)	0	11 (35,5%)	0	0
Мягкие изменения	15 (60%)	14 (43,8%)	1 (3,4%)	17 (54,8%)	9 (37,5%)	0
Умеренные изменения	2 (8%)	12 (37,5%)	17 (58,6%)	3 (9,7%)	10 (41,7%)	7 (46,7%)
Значительные изменения	0	5 (15,6%)	11 (38,0%)	0	5 (20,8%)	8 (53,3%)

Таблица 16. Структурные изменения в поджелудочной железе по данным УЗИ или КТ у обследованной группы пациентов через 36 месяцев наблюдения

	Группа А (n=86)			Группа Б (n=70)		
	1А (n=25)	2А (n=32)	3А (n=29)	1Б (n=31)	2Б (n=24)	3Б (n=15)
Сомнительные изменения	7 (8,13%)	3 (3,48%)	1 (1,2%)	1 (3,2%)	0	0
Мягкие изменения	17 (19,8%)	12 (13,9%)	2 (2,3%)	7 (22,6%)	3 (12,5%)	0
Умеренные изменения	1 (1,2 %)	14 (16,27%)	16 (18,6%)	19 (61,3%)	11 (45,8%)	4 (26,7%)
Значительные изменения	0	3 (3,48%)	10 (11,6%)	4 (12,9%)	10 (41,7%)	11 (73,3%)